

(HUANJING KEXUE)

ENVIRONMENTAL SCIENCE

第35卷 第9期

Vol.35 No.9

2014

中国科学院生态环境研究中心 主办

斜学出版社出版



ENVIRONMENTAL SCIENCE

第35卷 第9期 2014年9月15日

目 次

| 长江三角洲地区霾判别方法的对比分析 | 0) |
|--|--|
| 长江三用加地区建州加力区的州比力州 | 9) |
| 1980~2012 年江苏省城市霾目的时空分布及成因分析 刘端阳,魏建苏,严文莲,吕车,孙燕(324' | 7) |
| 万里关大气二氧化碳和甲烷时间变化特征 | 6) |
| 上海地区 DM 由方扣碟和三字碟亦似性红及水源公红 化对化 工方士 封集數 出点换 水泥 即工本 从底壁 226 | 2) |
| 上海观众 Γ_{M_2} ,下午机峽州几条峽文化行业及木塚刀 η | 3) |
| 亚青会期间南京市气溶胶中 OC 和 EC 的粒径分布 ···································· | 1) |
| 无锡市冬季典型天气 PM. 中碳组分的污染特征 ············ 云龙龙 陆钒 张天舒 伍德侠 感世杰 陆亦怀 刘建国(328) | 0) |
| 市的体研工生如晒影物 DM 排放性性分标 艾南南 对亚丽 对独立 巡叭的 盐热素 工程車 工厂第 220° | 7) |
| 高炉炼铁工艺细颗粒物 PM _{2.5} 排放特性分析 范真真,赵亚丽,赵浩宁,梁兴印,孙静雯,王保贵,王亚军(328) | 1) |
| 重庆市北碚城区大气中 VOCs 组成特征研究 祁心,郝庆菊,吉东生,张军科,刘子锐,胡波,王跃思,江长胜(329) | 3) |
| 双组分 VOCs 的催化氧化及动力学分析 | 2.) |
| 双组分 VOCs 的催化氧化及动力学分析 | <u>-</u> / |
| 八干排放超细域性数体及及性性值付证的关键训先 ———————————————————————————————————— | 9) |
| 疏勒河上游地表水水化学主离子特征及其控制因素 | 5) |
| | £ \ |
| 十江河南湖的乃甘江海河口青人居穴间入左乃污氿河丛 | <i>(</i>) |
| 人过何恐怕权及共进两何口里並属至间分争及行案杆切 | 0) |
| 雅鲁臧布江中段表层沉积物重金属形态分布及风险评价 柏建坤,李潮流,康世昌,陈鹏飞,土建力(334 | 6) |
| 一种加岸区仍快物-小乔面昌介温及气态氮的样放过佳和通量 | 2) |
| 黄河丰巨河和物山米一吨萬夕复联苯业亚公东 | 0) |
| 奥西农区仍然物下头一幅夹多家软本外下刀印。 | 0) |
| 合肥城郊典型源头溪流不同渠迫形态的氮鳞滞留特征 | 5) |
| 基干水资源调度的平原河网区城市河道氮迁移转化研究 ······ | |
| 刘波,盛明,朱强,杨霜,檀炳超,范冉,南旭军,何茂阳,王国祥(337) | 2) |
| 对放, 靈明, 木蓝, 彻相, 恒州起, 池村, 南旭丰, 門及阳, 工国什(35/1 | 3) |
| 杭州湾潮滩湿地植物不同分解过程及其磷素动态 ···································· | 1) |
| 基于数据同化的太湖叶绿素多模型协同反演 李渊,李云梅,吕恒,朱利,吴传庆,杜成功,王帅(338) | 9) |
| 天然日光辐照下两江交汇处溶解性有机质(DOM)光漂白过程:以涪江-嘉陵江为例···································· | - / |
| 人然自儿相思下两江文在处谷胜往有机灰(DOM)儿综口过往:以行江-萧陵江为例 | |
| 高洁, 江韬, 闫金龙, 魏世强, 王定勇, 卢松, 李璐璐(339) | 7) |
| 利用紫外-可见吸收光谱估算三峡库区消落带水体、土壤和沉积物溶解性有机质(DOM)浓度 ···································· | |
| 李璐璐,江韬,卢松,闫金龙,高洁,魏世强,王定勇,郭念,赵铮(340) | 0 \ |
| 子姗姗, 仁阳, 广位, 同金龙, 同伯, 观巴强, 工火为, 孙心, 处时(340) | 0) |
| Cu ₂ O-Ag-AgBr/MA 可见光催化剂的制备及其降解 2-氯苯酚的研究 ···································· | 7) |
| 不同粒径零价铁活化过硫酸钠氧化降解酸性橙 7 的影响及动力学研究 ······ | |
| 本办论 互入自 五營 | 2) |
| 子从族,从金水,与巨人,实为省,工党,协约何(342. | 2) |
| 还原脱氯-生物联合降解 2,4-二氯本氧乙酸 周红艺, 曾忠忠, 梁忠, 韩鉴(3436 | 0) |
| | |
| 多介质土壤滤层系统(MSL) 与潜流式人工湿地技术处理海水养殖废水的效能比较 ···································· | |
| 李欢旋,万金泉,马邕文,黄明智,王艳,陈杨梅(342)还原脱氯-生物联合降解2,4-二氯苯氧乙酸 李欢旋,万金泉,马邕文,黄明智,王艳,陈杨梅(342)多介质土壤滤层系统(MSL)与潜流式人工湿地技术处理海水养殖废水的效能比较 安顯 黄玉婷 莫川 改进 阵听 改主创 罗宾程(343) | 6) |
| 多介质土壤滤层系统(MSL)与潜流式人工湿地技术处理海水养殖废水的效能比较 | 6) |
| 多介质土壤滤层系统(MSL)与潜流式人工湿地技术处理海水养殖废水的效能比较 宋颖,黄玉婷,葛川,张浩,陈昕,张志剑,罗安程(3436不同碳源在污水处理过程中的变化规律研究 ···································· | 6) 3) |
| 多介质土壤滤层系统(MSL)与潜流式人工湿地技术处理海水养殖废水的效能比较 宋颖,黄玉婷,葛川,张浩,陈昕,张志剑,罗安程(3430不同碳源在污水处理过程中的变化规律研究 ************************************ | 6) 3) 9) |
| 多介质土壤滤层系统(MSL)与潜流式人工湿地技术处理海水养殖废水的效能比较 宋颖,黄玉婷,葛川,张浩,陈昕,张志剑,罗安程(343)不同碳源在污水处理过程中的变化规律研究 金鹏康,常晋,王先宝,刘柯君,王晓昌(344)气升装置对厌氧氨氧化反应器脱氮效能的影响 李祥,张大林,黄勇,陈宗垣,袁怡(344) | 6) 3) 9) |
| 多介质土壤滤层系统(MSL)与潜流式人工湿地技术处理海水养殖废水的效能比较 宋颖,黄玉婷,葛川,张浩,陈昕,张志剑,罗安程(3436不同碳源在污水处理过程中的变化规律研究 金鹏康,常晋,王先宝,刘柯君,王晓昌(3445气升装置对厌氧氨氧化反应器脱氮效能的影响 李祥,张大林,黄勇,陈宗姮,袁怡(3446微波及125强化污泥厌氧消化研究 刘吉宝,倪晓棠,魏源送,佟娟,王亚炜(3455年) | 6) 3) 9) 5) |
| 不同碳源在污水处理过程中的变化规律研究 | 6) 3) 9) |
| 不同碳源在污水处理过程中的变化规律研究 金鹏康,常晋,王先宝,刘柯君,王晓昌(344) 气升装置对厌氧氨氧化反应器脱氮效能的影响 李祥,张大林,黄勇,陈宗垣,袁怡(344) 微波及其组合工艺强化污泥厌氧消化研究 | 6) 3) 9) |
| 不同碳源在污水处理过程中的变化规律研究 金鵬康,常晋,王先宝,刘柯君,王晓昌(344、气升装置对厌氧氨氧化反应器脱氮效能的影响 李祥,张大林,黄勇,陈宗姮,袁怡(344、微波及其组合工艺强化污泥厌氧消化研究 刘吉宝,倪晓棠,魏源送,佟娟,王亚炜(345、"热水解-高温厌氧消化"工艺处理高含固率剩余污泥的中试研究 吴静,王广启,曹知平,李中华,胡玉瑛,王凯军,左剑恶(346、污水处理厂尾水细菌群落结构分析 吴鹏,陆爽君,徐乐中,刘捷,沈耀良(346、污水处理厂尾水细菌群落结构分析 徐爱玲,任杰,宋志文,吴等等,夏岩(347、沼液养殖钝顶螺旋藻的中试研究 国青青,刘锐,罗金飞,王根荣,陈吕军,刘矣(348、内源呼吸过程溶解性代谢产物的光谱特性分析 李志华,由旭丽,张芹,刘毅,贺春博(349、S-异丙甲草胺与镉对斜生栅藻光合作用的影响 陈彩东,胡晓娜,章小强,刘惠君(349、影响浑太河流域鱼类群落结构的不同尺度环境因子分析 李老华,由旭丽,张芹,刘毅,贺春博(352、Fontibacter sp. SgZ-2 厌氧腐殖质/Fe(Ⅲ)还原特性及电子传递机制研究 马文华,张玮,顾琬雯,张瑞雷,王丽卿(351:Fontibacter sp. SgZ-2 厌氧腐殖质/Fe(Ⅲ)还原特性及电子传递机制研究 艾建超,王宁,杨净(353、石河子市土壤环境磁学特征及空间分布研究 杨海,熊黑钢,陈学刚(353、不同施磷量(KH,PO₄)作用对 Cu、Zn 在红壤中的迁移转化 郭亮,李忠武,黄斌,王艳,张艳(354 | 6) 3) 9) 5) 1) 6) 3) 7) 2) 8) 4) 3) 2) 0) 7) |
| 不同碳源在污水处理过程中的变化规律研究 金鹏康、常晋、王先宝、刘柯君、王晓昌(344: 气升装置对厌氧氨氧化反应器脱氮效能的影响 李祥、张大林、黄勇、陈宗姮、袁怡(344: 微波及其组合工艺强化污泥厌氧消化研究 刘吉宝、倪晓棠、魏源送、佟娟、王亚炜(345: "热水解-高温厌氧消化"工艺处理高含固率剩余污泥的中试研究 吴静、王广启、曹知平、李中华、胡玉瑛、王凯军、左剑恶(346: 活水处理厂尾水细菌群落结构分析 吴鹏、陆爽君,徐乐中、刘捷、沈耀良(346: 污水处理厂尾水细菌群落结构分析 发寒吟、任杰、宋志文、吴等等、夏岩(347: 沼液养殖钝顶螺旋藻的中试研究 国青青、刘锐、罗金飞、王根荣、陈吕军、刘笑(348: 内源呼吸过程溶解性代谢产物的光谱特性分析 李志华,由旭丽、张芹、刘毅、贺春博(349: S-异丙甲草胺与镉对斜生栅藻光合作用的影响 陈彩东、胡晓娜、章小强、刘惠君(349: 影响浑太河流域鱼类群落结构的不同尺度环境因子分析 李志华,自旭丽、张芹、刘毅、贺春博(349: 影响浑太河流域鱼类群落结构的不同尺度环境因子分析 李拖利、李艳粉、徐宗学(350: 河口区新建河道轮虫群落演替及与水环境的关系 马文华、张玮、顾琬雯、张瑞雷、王丽卿(351: Fontibacter sp. SgZ-2 厌氧腐殖质/Fe(Ⅲ)还原特性及电子传递机制研究 马晨、杨贵芹、陆琴、周顺桂(352: 基于 UNMIX 模型的夹皮沟金矿区土壤重金属源析 文建原、无宁、杨澄、熊黑钢、陈学刚(353: 不同施磷量(KH,PO₄)作用对 Cu、Zn 在红壤中的迁移转化 郭亮、李忠武、黄斌、王护、张学(355: 硫蓄对水稻吸收砷的牛物有效性及其在十壤中形态影响 杨世杰、唐冰培、王代长、饶伟、张亚楠、王丹、朱云集(355: 硫蓄对水稻吸收砷的中物有效性及其在十壤中形态影响 杨世杰、唐冰培、王代长、饶伟、张亚楠、王丹、朱云集(355: 硫蓄对水稻吸收砷的中物有效性及其在十壤中形态影响 杨世杰、唐冰培、王代长、饶伟、张亚楠、王丹、朱云集(355: 硫蓄对水稻吸收砷的中物有效性及其在十壤中形态影响 杨世杰、唐冰培、王代长、饶伟、张平楠、王丹、朱云集(355: 硫蓄对水稻吸收砷的中物有效性及其在十壤中形态影响 | 66) 33) 99) 55) 11) 166) 33) 77) 22) 88) 44) 33) 77) 66) 33) |
| 不同碳源在污水处理过程中的变化规律研究 金鹏康、常晋、王先宝、刘柯君、王晓昌(344: 气升装置对厌氧氨氧化反应器脱氮效能的影响 李祥、张大林、黄勇、陈宗姮、袁怡(344: 微波及其组合工艺强化污泥厌氧消化研究 刘吉宝、倪晓棠、魏源送、佟娟、王亚炜(345: "热水解-高温厌氧消化"工艺处理高含固率剩余污泥的中试研究 吴静、王广启、曹知平、李中华、胡玉瑛、王凯军、左剑恶(346: 活水处理厂尾水细菌群落结构分析 吴鹏、陆爽君,徐乐中、刘捷、沈耀良(346: 污水处理厂尾水细菌群落结构分析 发寒吟、任杰、宋志文、吴等等、夏岩(347: 沼液养殖钝顶螺旋藻的中试研究 国青青、刘锐、罗金飞、王根荣、陈吕军、刘笑(348: 内源呼吸过程溶解性代谢产物的光谱特性分析 李志华,由旭丽、张芹、刘毅、贺春博(349: S-异丙甲草胺与镉对斜生栅藻光合作用的影响 陈彩东、胡晓娜、章小强、刘惠君(349: 影响浑太河流域鱼类群落结构的不同尺度环境因子分析 李志华,自旭丽、张芹、刘毅、贺春博(349: 影响浑太河流域鱼类群落结构的不同尺度环境因子分析 李拖利、李艳粉、徐宗学(350: 河口区新建河道轮虫群落演替及与水环境的关系 马文华、张玮、顾琬雯、张瑞雷、王丽卿(351: Fontibacter sp. SgZ-2 厌氧腐殖质/Fe(Ⅲ)还原特性及电子传递机制研究 马晨、杨贵芹、陆琴、周顺桂(352: 基于 UNMIX 模型的夹皮沟金矿区土壤重金属源析 文建原、无宁、杨澄、熊黑钢、陈学刚(353: 不同施磷量(KH,PO₄)作用对 Cu、Zn 在红壤中的迁移转化 郭亮、李忠武、黄斌、王护、张学(355: 硫蓄对水稻吸收砷的牛物有效性及其在十壤中形态影响 杨世杰、唐冰培、王代长、饶伟、张亚楠、王丹、朱云集(355: 硫蓄对水稻吸收砷的中物有效性及其在十壤中形态影响 杨世杰、唐冰培、王代长、饶伟、张亚楠、王丹、朱云集(355: 硫蓄对水稻吸收砷的中物有效性及其在十壤中形态影响 杨世杰、唐冰培、王代长、饶伟、张亚楠、王丹、朱云集(355: 硫蓄对水稻吸收砷的中物有效性及其在十壤中形态影响 杨世杰、唐冰培、王代长、饶伟、张平楠、王丹、朱云集(355: 硫蓄对水稻吸收砷的中物有效性及其在十壤中形态影响 | 66) 33) 99) 55) 11) 166) 33) 77) 22) 88) 44) 33) 77) 66) 33) |
| 不同碳源在污水处理过程中的变化规律研究 金鹏康、常晋、王先宝、刘柯君、王晓昌(344: 气升装置对厌氧氨氧化反应器脱氮效能的影响 李祥、张大林、黄勇、陈宗姮、袁怡(344: 微波及其组合工艺强化污泥厌氧消化研究 刘吉宝、倪晓棠、魏源送、佟娟、王亚炜(345: "热水解-高温厌氧消化"工艺处理高含固率剩余污泥的中试研究 吴静、王广启、曹知平、李中华、胡玉瑛、王凯军、左剑恶(346: 活水处理厂尾水细菌群落结构分析 吴鹏、陆爽君,徐乐中、刘捷、沈耀良(346: 污水处理厂尾水细菌群落结构分析 发寒吟、任杰、宋志文、吴等等、夏岩(347: 沼液养殖钝顶螺旋藻的中试研究 国青青、刘锐、罗金飞、王根荣、陈吕军、刘笑(348: 内源呼吸过程溶解性代谢产物的光谱特性分析 李志华,由旭丽、张芹、刘毅、贺春博(349: S-异丙甲草胺与镉对斜生栅藻光合作用的影响 陈彩东、胡晓娜、章小强、刘惠君(349: 影响浑太河流域鱼类群落结构的不同尺度环境因子分析 李志华,自旭丽、张芹、刘毅、贺春博(349: 影响浑太河流域鱼类群落结构的不同尺度环境因子分析 李拖利、李艳粉、徐宗学(350: 河口区新建河道轮虫群落演替及与水环境的关系 马文华、张玮、顾琬雯、张瑞雷、王丽卿(351: Fontibacter sp. SgZ-2 厌氧腐殖质/Fe(Ⅲ)还原特性及电子传递机制研究 马晨、杨贵芹、陆琴、周顺桂(352: 基于 UNMIX 模型的夹皮沟金矿区土壤重金属源析 文建原、无宁、杨澄、熊黑钢、陈学刚(353: 不同施磷量(KH,PO₄)作用对 Cu、Zn 在红壤中的迁移转化 郭亮、李忠武、黄斌、王护、张学(355: 硫蓄对水稻吸收砷的牛物有效性及其在十壤中形态影响 杨世杰、唐冰培、王代长、饶伟、张亚楠、王丹、朱云集(355: 硫蓄对水稻吸收砷的中物有效性及其在十壤中形态影响 杨世杰、唐冰培、王代长、饶伟、张亚楠、王丹、朱云集(355: 硫蓄对水稻吸收砷的中物有效性及其在十壤中形态影响 杨世杰、唐冰培、王代长、饶伟、张亚楠、王丹、朱云集(355: 硫蓄对水稻吸收砷的中物有效性及其在十壤中形态影响 杨世杰、唐冰培、王代长、饶伟、张平楠、王丹、朱云集(355: 硫蓄对水稻吸收砷的中物有效性及其在十壤中形态影响 | 66) 33) 99) 55) 11) 166) 33) 77) 22) 88) 44) 33) 77) 66) 33) |
| 不同碳源在污水处理过程中的变化规律研究 金廳康,常晋,王先宝,刘柯君,王晓昌(344: (1) 我置对厌氧氨氧化反应器脱氮效能的影响 李祥,张大林,黄勇,陈宗贞,袁恰(344: (1) "热水解-高温厌氧消化"工艺处理高含固率剩余污泥的中试研究 ———————————————————————————————————— | 66) 33) 99) 55) 11) 66) 33) 60) 77) 22) 88) 44) 23) 44) 42) |
| 不同碳源在污水处理过程中的变化规律研究 金廳康,常晋,王先宝,刘柯君,王晓昌(344: (1) 我置对厌氧氨氧化反应器脱氮效能的影响 李祥,张大林,黄勇,陈宗贞,袁恰(344: (1) "热水解-高温厌氧消化"工艺处理高含固率剩余污泥的中试研究 ———————————————————————————————————— | 66) 33) 99) 55) 11) 66) 33) 60) 77) 22) 88) 44) 23) 44) 42) |
| 不同碳源在污水处理过程中的变化规律研究 金廳康,常晋,王先宝,刘柯君,王晓昌(344: (1) 我置对厌氧氨氧化反应器脱氮效能的影响 李祥,张大林,黄勇,陈宗贞,袁恰(344: (1) "热水解-高温厌氧消化"工艺处理高含固率剩余污泥的中试研究 ———————————————————————————————————— | 66) 33) 99) 55) 11) 66) 33) 60) 77) 22) 88) 44) 23) 44) 42) |
| 不同碳源在污水处理过程中的变化规律研究 金廳康,常晋,王先宝,刘柯君,王晓昌(344: (1) 我置对厌氧氨氧化反应器脱氮效能的影响 李祥,张大林,黄勇,陈宗贞,袁恰(344: (1) "热水解-高温厌氧消化"工艺处理高含固率剩余污泥的中试研究 ———————————————————————————————————— | 66) 33) 99) 55) 11) 66) 33) 60) 77) 22) 88) 44) 23) 44) 42) |
| 不同碳源在污水处理过程中的变化规律研究 金廳康,常晋,王先宝,刘柯君,王晓昌(344: (1) 我置对厌氧氨氧化反应器脱氮效能的影响 李祥,张大林,黄勇,陈宗贞,袁恰(344: (1) "热水解-高温厌氧消化"工艺处理高含固率剩余污泥的中试研究 ———————————————————————————————————— | 66) 33) 99) 55) 11) 66) 33) 60) 77) 22) 88) 44) 23) 44) 42) |
| 不同碳源在污水处理过程中的变化规律研究 金廳康,常晋,王先宝,刘柯君,王晓昌(344: (1) 我置对厌氧氨氧化反应器脱氮效能的影响 李祥,张大林,黄勇,陈宗贞,袁恰(344: (1) "热水解-高温厌氧消化"工艺处理高含固率剩余污泥的中试研究 ———————————————————————————————————— | 66) 33) 99) 55) 11) 66) 33) 60) 77) 22) 88) 44) 23) 44) 42) |
| 不同碳源在污水处理过程中的变化规律研究 金廳康,常晋,王先宝,刘柯君,王晓昌(344: (1) 我置对厌氧氨氧化反应器脱氮效能的影响 李祥,张大林,黄勇,陈宗贞,袁恰(344: (1) "热水解-高温厌氧消化"工艺处理高含固率剩余污泥的中试研究 ———————————————————————————————————— | 66) 33) 99) 55) 11) 66) 33) 60) 77) 22) 88) 44) 23) 44) 42) |
| 不同碳源在污水处理过程中的变化规律研究 金廳康,常晋,王先宝,刘柯君,王晓昌(344: (1) 我置对厌氧氨氧化反应器脱氮效能的影响 李祥,张大林,黄勇,陈宗贞,袁恰(344: (1) "热水解-高温厌氧消化"工艺处理高含固率剩余污泥的中试研究 ———————————————————————————————————— | 66) 33) 99) 55) 11) 66) 33) 60) 77) 22) 88) 44) 23) 44) 42) |
| 不同碳源在污水处理过程中的变化规律研究 金廳康,常晋,王先宝,刘柯君,王晓昌(344: (1) 我置对厌氧氨氧化反应器脱氮效能的影响 李祥,张大林,黄勇,陈宗贞,袁恰(344: (1) "热水解-高温厌氧消化"工艺处理高含固率剩余污泥的中试研究 ———————————————————————————————————— | 66) 33) 99) 55) 11) 66) 33) 60) 77) 22) 88) 44) 23) 44) 42) |
| 不同碳源在污水处理过程中的变化规律研究 金廳康,常晋,王先宝,刘柯君,王晓昌(344: (1) 我置对厌氧氨氧化反应器脱氮效能的影响 李祥,张大林,黄勇,陈宗贞,袁恰(344: (1) "热水解-高温厌氧消化"工艺处理高含固率剩余污泥的中试研究 ———————————————————————————————————— | 66) 33) 99) 55) 11) 66) 33) 60) 77) 22) 88) 44) 23) 44) 42) |
| 不同碳源在污水处理过程中的变化规律研究 金廳康,常晋,王先宝,刘柯君,王晓昌(344: (1) 我置对厌氧氨氧化反应器脱氮效能的影响 李祥,张大林,黄勇,陈宗贞,袁恰(344: (1) "热水解-高温厌氧消化"工艺处理高含固率剩余污泥的中试研究 ———————————————————————————————————— | 66) 33) 99) 55) 11) 66) 33) 60) 77) 22) 88) 44) 23) 44) 42) |
| 不同碳源在污水处理过程中的变化规律研究 金廳康,常晋,王先宝,刘柯君,王晓昌(344: (1) 我置对厌氧氨氧化反应器脱氮效能的影响 李祥,张大林,黄勇,陈宗贞,袁恰(344: (1) "热水解-高温厌氧消化"工艺处理高含固率剩余污泥的中试研究 ———————————————————————————————————— | 66) 33) 99) 55) 11) 66) 33) 60) 77) 22) 88) 44) 23) 44) 42) |
| 不同碳源在污水处理过程中的变化规律研究 金廳康,常晋,王先宝,刘柯君,王晓昌(344: (1) 我置对厌氧氨氧化反应器脱氮效能的影响 李祥,张大林,黄勇,陈宗贞,袁恰(344: (1) "热水解-高温厌氧消化"工艺处理高含固率剩余污泥的中试研究 ———————————————————————————————————— | 66) 33) 99) 55) 11) 66) 33) 60) 77) 22) 88) 44) 23) 44) 42) |
| 不同碳源在污水处理过程中的变化规律研究 金廳康,常晋,王先宝,刘柯君,王晓昌(344: (1) 我置对厌氧氨氧化反应器脱氮效能的影响 李祥,张大林,黄勇,陈宗贞,袁恰(344: (1) "热水解-高温厌氧消化"工艺处理高含固率剩余污泥的中试研究 ———————————————————————————————————— | 66) 33) 99) 55) 11) 66) 33) 60) 77) 22) 88) 44) 23) 44) 42) |
| 不同碳源在污水处理过程中的变化规律研究 金 廳康,常晋,王先宝,刘柯君,王晓昌(344、 | 66) 33) 99) 55) 11) 66) 33) 60) 77) 22) 88) 44) 23) 44) 42) |

天然日光辐照下两江交汇处溶解性有机质(DOM)光漂白过程:以涪江-嘉陵江为例

高洁1, 江韬1,2*, 闫金龙1, 魏世强1,2, 王定勇1,2, 卢松1, 李璐璐1

(1. 西南大学资源环境学院,三峡库区生态环境教育部重点实验室,重庆 400716; 2. 重庆市农业资源与环境研究重点实验室,重庆 400716)

摘要:利用三维荧光光谱手段,结合紫外-可见吸收光谱,分析了涪江(FJ)、嘉陵江(JLJ)及两江交汇处(FJ-JLJ)溶解性有机质(DOM)在太阳辐照下的光漂白过程.结果表明,在夏季短期太阳辐射作用下,所有样品的有色溶解性有机质(CDOM)浓度 [a(280)] 和荧光峰 A、C、M、T 均发生了较明显光漂白,降解程度大小顺序为 JLJ > FJ-JLJ > FJ- 3 个采样河段 DOM 光漂白性质因采样水域周边土地利用类型不同、江水汇合的稀释作用等影响而存在一定差异.以森林系统为陆源输入的 JLJ 样本光漂白活性最高,城市输入占主导的 FJ 最低,两江汇合样本居中. DOM 经日光辐照后,光谱斜率 S 和吸光度比值 A_{250}/A_{350} 增大,腐殖化指数 HIX 减小,它们可作为光漂白过程中 DOM 性质变化指标. 光漂白过程中,几乎所有样本呈现出陆源特征向自生源特征转化的趋势,尤其 I_{T}/I_{C} 先降低后显著增加,因此光漂白过程可能会夸大 DOM 的内源贡献,同时对利用 I_{T}/I_{C} 评估水体人为影响程度时产生干扰. 另外,吸收和荧光光谱参数在评估 DOM 光漂白过程中结构组分变化的一致性,进一步证明了采用两种互补的光谱手段对 DOM 地化特征进行辨析的可行性.

关键词:溶解性有机质(DOM);三维荧光光谱;紫外-可见吸收光谱;光漂白;光降解;天然有机物(NOM) 中图分类号:X131.2;X52 文献标识码:A 文章编号:0250-3301(2014)09-3397-11 **DOI**: 10.13227/j. hjkx. 2014. 09. 021

Photobleaching of Dissolved Organic Matter (DOM) from Confluence of Two Rivers Under Natural Solar Radiation: A Case Study of Fujiang River-Jialingjiang River

GAO Jie¹, JIANG Tao^{1,2}, YAN Jin-long¹, WEI Shi-qiang^{1,2}, WANG Ding-yong^{1,2}, LU Song¹, LI Lu-lu¹ (1. Key Laboratory of Eco-environments in Three Gorges Reservoir Region, Ministry of Education, College of Resources and Environment, Southwest University, Chongqing 400716, China; 2. Chongqing Key Laboratory of Agricultural Resources and Environment, Chongqing 400716, China)

Abstract: Three-dimensional fluorescence spectroscopy combined with ultraviolet-visible absorption spectra was used to investigate the photobleaching process of dissolved organic matter (DOM) sampled from Fujiang River (FJ), Jialingjiang River (JLJ) and the confluence (FJ-JLJ) under natural solar radiation. The results indicated that obvious photochemical degradation of colored dissolved organic matter (CDOM) concentration [a(280)] and all fluorescence peaks intensity (A,C,M and T) occurred under natural solar radiation, and the degradation degree was in order of JLJ > FJ-JLJ > FJ. Photobleaching properties of DOM samples from different locations showed significant differences, which could be partially explained by the sampling sites surroundings including various landuse types, and dilution effect of river confluence. Light-induced bleaching activity of JLJ samples, which was mainly terrestrial input from forest system, was the highest as compared to the lowest activity of FJ samples, which was predominated by urban inputs. Samples from confluence were in the middle. Additionally, the spectrum slope (S) and absorbance ratio (A_{250}/A_{350}) were increased, while the humification index(HIX) was decreased with increasing irradiation time, which can be used as important indicators for photobleaching properties changes during the process. More importantly, the predominantly allochthonous (terrigenous) characteristics of DOM almost showed a tendency of transferring to autochthonous (authigenic) characteristics due to photobleaching. Especially, I_T/I_C firstly decreased and then increased significantly in the process. Thus the photodegradation process may exaggerate DOM autochthonous contribution, and further interfere with the assessment of anthropogenic impacted-water quality by using I_T/I_C . In addition, mechanisms of light-induced DOM degradation process consistently showed by absorption and fluorescence spectrum parameters suggested the validation of analyzing DOM geochemical characteristics by the two important spectra tools.

Key words: dissolved organic matter (DOM); three-dimensional fluorescence spectroscopy; ultraviolet-visible spectra; photobleaching; photodegradation; natural organic matter (NOM)

收稿日期: 2014-02-26; 修订日期: 2014-03-29

基金项目:中国博士后科学基金项目(2013M542238);中央高校基本科研业务费专项(XDJK2013C151);西南大学博士基金项目(SWU112098)

作者简介: 高洁(1989~),女,硕士研究生,主要研究方向为环境污染化学,E-mail:ajjyzhe1208@126.com

^{*} 通讯联系人, E-mail: Jiangtower666@163. com

溶解性有机质(dissolved organic matter, DOM) 是生态系统重要组成部分[1],对全球碳循环有重要 影响[2],对生态系统的能量输入和物质转化也具有 重要作用,尤其是在水生生态系统中[2,3];同时 DOM 也是重要水质评价指标^[4,5]. 作为水环境中一 类重要吸光组分,DOM 吸收太阳紫外辐射后可发生 一系列直接或间接的光化学反应,例如 DOM 的光 漂白(又称光降解)机制:将耐生物降解的大分子有 机物分解成微生物可利用的低分子量有机物及无机 碳、氮等[6],对生态环境具有重要意义. 持续性的 光漂白将降低 DOM 作为"光屏障"保护水生系统的 作用,导致 UV-B 辐射在水体中穿透深度增加,进而 影响生态系统结构与功能. 此外,DOM 的光漂白还 会影响与 DOM 结合的重金属及有机污染物的形态 与分布、迁移转化及其毒性和生物可利用性等[7,8]. 由此可见,了解 DOM 光漂白机制具有重要的环境 意义和生态价值,是进一步认识 DOM 在污染物生 物地化过程中作用的重要基础.

涪江和嘉陵江是长江上游的两条重要支流,是 我国西南地区重要的淡水生态系统. 涪江是嘉陵江 的支流,在重庆市合川区汇于嘉陵江. 涪江采样河 段以城市生态系统为主,嘉陵江采样河段以森林生 态系统为主,二者交汇处具有特殊的地理位置和生 态环境,其下游居住着大量居民,江水是其生活用水 的主要来源,但是由于经济的快速发展及人口的增长,含有大量有机质的农业废水、生活污水流入江中,影响到居民的饮用水安全. 光漂白是水体 DOM 去除的重要机制,也是 DOM 演化重要环境因素,由此对 DOM 地化性质的改变^[9,10],对提高水质有重要影响. 目前,国内有关 DOM 光漂白的研究主要集中在湖泊、河口与近海海域^[11~15],针对长江上游区域的研究工作较少,尤其针对两江交汇处的研究工作鲜有报道. 鉴于此,本研究以涪江和嘉陵江的交汇处为调查对象,探讨夏季短期太阳辐射作用下江水DOM 的吸收和三维荧光光谱特性的变化规律,结合样本采集区域沿岸生态景观特征,分析比较了涪江、嘉陵江交汇前后光漂白程度差异的原因,以期为进一步了解 DOM 在西南地区内陆水环境中作用和意义提供理论依据和科学基础.

1 材料与方法

1.1 样品采集

2013 年 6 月在涪江(FJ)、嘉陵江(JLJ)及其交汇处(FJ-JLJ)分别采集 3 个河段表层(0~30 cm)水样(以合流前的两江河段 FJ、JLJ 为对照河段),每个河段多点水样(n>10 个)现场混合后 4 个 冷藏运回实验室(图 1). 现场测定 pH 等指标(表 1),水体叶绿素 a (Chla)采用丙酮萃取法测定.

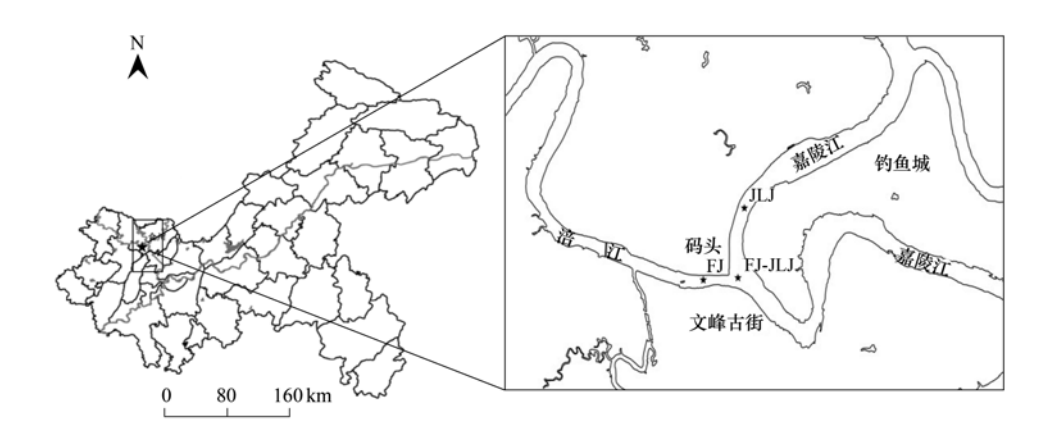


图1 采样点示意

Fig. 1 Distribution of the sampling sites

表 1 基本水质指标

Table 1 Basic parameters of DOM samples in this study

| 采样点 | pН | EC ¹⁾ /mS·cm ⁻¹ | TDS ²⁾ /ng·L ⁻¹ | 叶绿素 a/μg·L ⁻¹ | DOC ³⁾ /mg·L ⁻¹ |
|--------|-------|---------------------------------------|---------------------------------------|--------------------------|---------------------------------------|
| FJ | 8. 02 | 0.39 | 0. 18 | 3. 38 | 5. 01 |
| JLJ | 7. 87 | 0.32 | 0. 15 | 3. 22 | 3. 94 |
| FJ-JLJ | 8. 08 | 0. 34 | 0. 16 | 2. 19 | 4. 01 |

¹⁾EC 为电导率; 2)TDS 为溶解性固体总量; 3)DOC 为溶解性有机碳

1.2 光漂白试验

为排除微生物干扰,用 0.22 μm 醋酸纤维滤膜 对水样过滤获得 DOM 样本,将滤液分装到灭菌后的 50 mL 透明具塞比色管中加盖密封,部分用铝箔包裹避光作为对照组.将比色管置于西南大学资源环境学院楼顶,参照文献[13,14],每天辐射 10 h (09:00~19:00),试验开始(0 h)及其后光照 12、24、36、48 h各取走一组比色管(试验组与对照组各取1支),将样品立即带回实验室后进行分析.整个试验周期每隔 2 h 测定一次太阳辐照强度(TES 1332A 型辐照计)和紫外线强度(LS 123 型紫外强度计).试验组在有光照时暴露于太阳辐照下,其余时间均用铝箔包裹.每组处理均设置 3 个平行取平均值.

1.3 吸收光谱和荧光光谱分析

溶解性有机碳(DOC)采用 GE InnovOx®

Laboratory TOC 分析仪测定(表示为mg·L⁻¹). 吸收光谱和三维荧光光谱(3D-EEM)均采用 Horiba 公司 Aqualog® 荧光光谱仪进行测定. Aqualog® 荧光光谱仪可以同时测定吸收和荧光光谱. 紫外-可见吸收光谱方法:以 Milli-Q 水为空白,用 10 mm 石英比色皿在 230~800 nm 范围内进行光吸收测定,间隔 1 nm,以 280 nm 处的吸收系数 a(280)表示有色溶解性有机物(CDOM)相对浓度[15~17]. 本研究中相关吸收光谱参数如表 2 所示.

荧光光谱方法: 以 Milli-Q 水为空白, 激发波长 (E_x) 范围为 230 ~ 450 nm, 增量 5 nm, 发射波长 (E_m) 范围为 250 ~ 620 nm, 扫描信号积分时间为 3 s,光源为 150 W 无臭氧氙弧灯, Aqualog® 系统自动校正瑞利和拉曼散射. Aqualog® 荧光谱峰在 Origin 软件上参照文献[20,21]识别. 本研究中相关荧光参数如表 3 所示.

表 2 紫外-可见吸收光谱参数描述

Table 2 Description of ultraviolet-visible absorption spectrum parameters

| 紫外-可见吸收光谱参数 | 计算公式 | 公式参数 |
|-----------------------------------|---|---|
| 吸收系数 a(280) | $a(\lambda) = 2.303D(\lambda)/r^{[18]}$ | $a(\lambda)$ 为波长 λ 的吸收系数 (m^{-1}) , $D(\lambda)$ 为吸光度 , r 为光程路径 (m) |
| SUVA_{280} | $SUVA_{280} = a(280)/DOC$ | DOC 为溶解性有机碳(mg·L ⁻¹) |
| 光谱斜率 S _(270~350) | $a(\lambda) = a(\lambda_0) \exp[S(\lambda_0 - \lambda)]^{[18]}$ | $a(\lambda)$ 是 DOM 的吸收系数 (m^{-1}) , λ 是波长 (nm) , λ_0 是参照波长 (nm) , 本研究取 290 nm |
| A_{250}/A_{350} ^[19] | _ | A_{250} 、 A_{350} 分别为 250 nm 和 350 nm 波长处的吸收值 |

表 3 荧光光谱参数描述

Table 3 Description of fluorescence spectrum parameters

| | Table 5 Description of huorescence spe | ctrum parameters |
|--|---|---|
| 荧光光谱参数 | 定义 | 参数意义描述 |
| $I_{\rm A}/I_{\rm C}$ | 峰 A 与峰 C 荧光强度比值 | 用来反映 DOM 中腐殖组分发育程度 ^[20,22] |
| $I_{ m T}/I_{ m C}$ | 峰 T 与峰 C 荧光强度比值 | 评价内源贡献比重,也用来评估水体污染情况[23] |
| 荧光指数(fluorescence index, FI) | 激发波长为 370 nm 时, 荧光发射光谱强度 在 470 nm 和 520 nm 处比值 $(f_{470/520})^{[24]}$ | 常用来研究和表征 DOM 中腐殖质的来源 ^[24] ,FI>1.9 表征 DOM 主要源于微生物和藻类活动,属于内源生产(DOM 自生源特征较为明显);FI<1.4 源于陆源输入(DOM 异生源特征较为明显) ^[25] |
| | 254 nm 激发波长下,发射波长 435~480 nm | |
| 腐殖化指数(humification index, | 间的区域积分值 $\left(\int_{435~480}\right)$ 除以 300~345 | 常用来表征 DOM 腐殖化程度,高 HIX 值表明腐殖化程度 |
| 网络 化 角 数 (numinication index , HIX) | nm 间的区域积分值 $\left(\int_{300 \sim 345} \right)$ 与 435 ~ 480 | 较高,DOM 稳定性也较高[26] |
| | nm 间的区域积分值 $\left(\int_{435~480}\right)$ 之和 $^{[26]}$ | |
| 自生源指数 (autochthonous index , BIX) | 310 nm 激发波长下,发射波长 380 nm 与 430 nm 处荧光强度比值 ^[27] | BIX > 1 时, 表明 DOM 主要为自生来源且为新近产生, BIX 在 $0.6 \sim 0.7$ 之间表明自然水体 DOM 生产力较低 $^{[27,28]}$ |

2 结果与讨论

2.1 紫外-可见吸收光谱特征变化

3 个采样河段 DOM 的吸收系数随波长增加均 呈指数降低趋势. 整个试验过程中, DOM 吸收光谱 变化如图 2 所示. 随辐照时间增加, 吸收光谱出现 不同程度蓝移,说明光辐射对 DOM 中吸光结构有明显影响.通过光漂白, DOM 中共轭结构遭到破坏,吸光能力降低,吸收光谱向短波方向移动,这和相关报道一致[14,29,30].

用吸收系数 a(280) 表征 CDOM 浓度,随辐照时间增加而不断降低 [图 3(a)],证明光漂白是水体

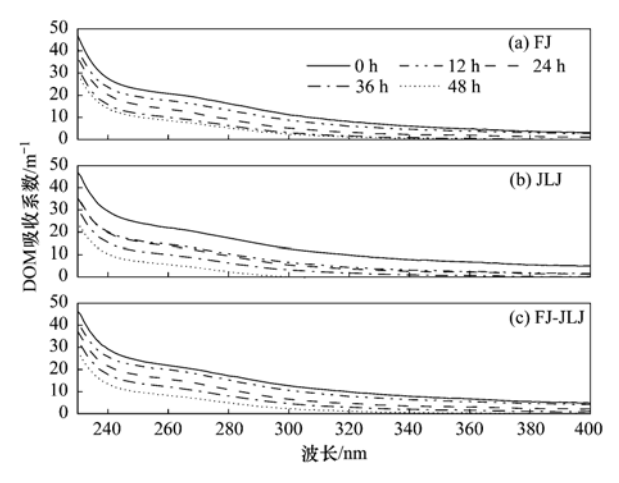


图 2 光漂白过程中 DOM 吸收光谱的变化趋势

Fig. 2 Changes of DOM absorption spectra in photobleaching process

CDOM 消耗的重要原因. 太阳辐照强度(PAR)和紫外线强度(UV)变化趋势如图 3(b)所示,FJ、JLJ、FJ-JLJ 的 CDOM 浓度与 PAR 相关系数分别为 -0.982(P<0.05)、-0.954(P<0.05)、-0.997(P<0.01);与 UV 相关系数分别为 -0.991(P<0.01)、-0.936(P<0.05)、-0.994(P<0.01).由此可见,辐照强度增加是导致 CDOM 浓度降低的重要原因. 但 PAR 和 UV 对 CDOM 浓度改变的贡献无显著差异,这和 Hulatt等[31]报道结果一致. 试验结束时候(光照 48 h),FJ、JLJ、FJ-JLJ 的 a(280)分别下降了 68.08%、86.89%、71.09%,其降低程度较海洋、湖泊等水体 DOM 高(表 4),一方面是由于其它研究水域开阔,DOM 样本自生源特征较明显,相比于本研究中受陆源输入影响较大的 DOM 而

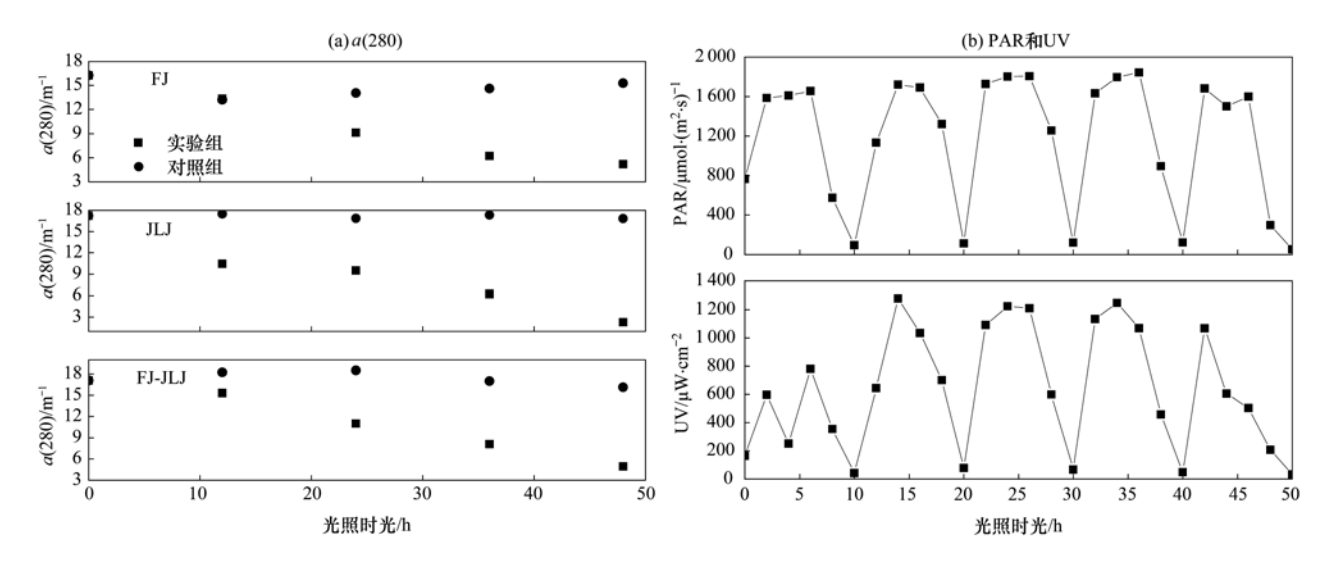


图 3 a(280)、太阳辐照强度(PAR)及紫外线强度(UV)变化趋势

Fig. 3 Changes of a(280), sun radiation intensity (PAR) and ultraviolet intensity (UV)

表 4 DOM 光漂白速率比较

Table 4 Comparison of DOM photobleaching rate

| 样品 | · 日来源 | 光照时间 | 降解程度/% | 光解速率常数1) | 半衰期 ²⁾ /h | 光照方式 | 文献3) |
|----------|-------------|------------|--------|----------------------------|----------------------|---------|------|
| 太湖梅梁 | 湾梁溪河口 | 12 h | _ | 0. 015 6 h ⁻¹ | _ | 模拟 UV-B | [12] |
| 梅 | 梅梁湾 | | 18. 6 | 0. 015 8 h ⁻¹ | _ | 模拟 UV-B | [32] |
| 1-3- | | | 20. 8 | 0. 018 0 d $^{-1}$ | _ | 自然光照 | [02] |
| | ZJ | | 28. 5 | _ | _ | | |
| 北部湾及 | GX | 5 d | 17. 6 | _ | _ | 自然光照 | [15] |
| 珠江口 | HN | <i>3</i> u | 15. 5 | _ | _ | | |
| | HX | | 10. 2 | _ | _ | | |
| 九龙 | | 42 h | 43 | 0. 018 4 h^{-1} | 37. 67 | 自然光照 | [14] |
| 涪江 | 涪江(FJ) | | 68. 08 | 0. 026 8 h^{-1} | 25. 86 | | |
| 嘉陵江(JLJ) | | 48 h | 86. 89 | 0. 041 8 h^{-1} | 16. 58 | 自然光照 | 本研究 |
| 交汇处 | 交汇处(FJ-JLJ) | | 71.09 | $0.030~8~h^{-1}$ | 22. 50 | | |

¹⁾ 计算方法为; $\ln c/c_0 = -kt + A$, c 为不同光照时间 a(280), c_0 为光照前 a(280), k 为光解速率常数, A 为常数; 2) 计算方法为; $T_{1/2} = 0.693/k$; "—"表示文献中未明确告知; 3) 文献[15,32] 降解程度保留小数点后一位数, 文献[14] 降解程度保留整数

言,其吸光和发生光漂白的能力相对较低;另一方面,本研究在重庆夏季6月进行,正值光照强度活跃时期,这也可能影响光漂白程度.

进一步,参照文献[14]方法,通过一级动力学方程 $\ln c/c_0 = -kt + A(A)$ 为常数)拟合出 3 个采样河段 CDOM 光漂白动力学常数分别为 0.026 8、0.041 8、0.030 8 h^{-1} ,相应半衰期分别为 25.86、16.58、22.50 h. 一阶动力学常数越大,表明光化学降解越显著. 由此可见,嘉陵江 DOM 光漂白程度最大,其次是合流处 DOM,最后是涪江 DOM.

SUVA₂₈₀可以反映 DOM 芳香性大小^[16]. 芳香性越高,其分子结构中可能存在的生色团越多,也更易吸收光辐射发生光漂白^[33]. 本研究原水样SUVA₂₈₀大小顺序为 JLJ[4. 38 L·(mg·m)⁻¹] > FJ-JLJ[4. 26 L·(mg·m)⁻¹] > FJ[3. 25 L·(mg·m)⁻¹]. SUVA₂₈₀随辐照时间增加而不断降低(图 4),光照 48 h 后, FJ、JLJ、FJ-JLJ 的 SUVA₂₈₀分别损失了55. 94%、79. 82%、53. 45%,损失程度为 JLJ > FJ > FJ-JLJ. 动力学常数分别为 0. 016 5、0. 028 2、0. 010 3 h⁻¹,半衰期分别为 42. 00、24. 57、67. 28 h.

光谱斜率 S 与 DOM 浓度无关^[34,35],能够定性 反映 DOM 来源与类型,包括富里酸(FA)/胡敏酸 (HA)比例、分子量大小、自生源与陆源特征等;尤 其可以反映 DOM 的光漂白特性^[29,36],S 值越大,DOM 分子量越小,参与光漂白活性可能越低.图 5 (a)为 S 值动力学变化过程,光漂白导致 S 值增加,说明光漂白导致 DOM 分子量减小,这与 Helms 等^[36]的报道结果一致,也间接证明 DOM 生色团主要由大分子量组分组成(例如芳香性基团).光照 48 h 后,S 增加程度为 JLJ (85.06%) > FJ-JLJ (64.87%) > FJ(52.78%).另外,S 与 a (280)呈负

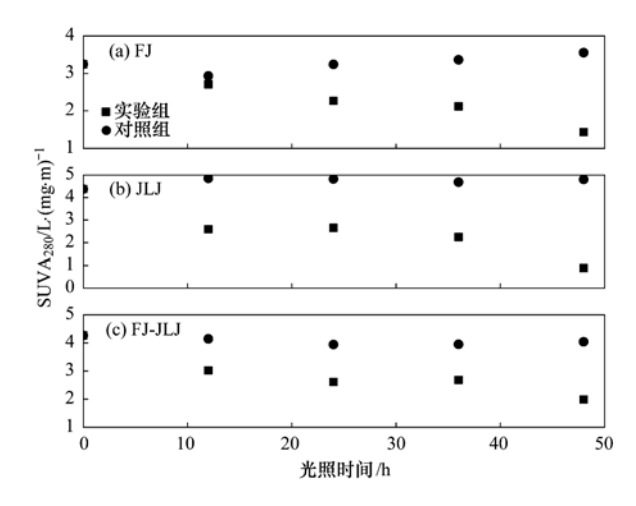


图 4 SUVA₂₈₀ 随光照时间的变化趋势

Fig. 4 Changes of SUVA_{280} along with the illumination time

相美(P<0.05),进一步证明光漂白对水体 DOM 的耗损,是引起 DOM 分子量不断减小的重要原因.尽管目前有研究采用光谱斜率比值(S_R)表征 DOM 分子量 变化 $^{[9,32,36]}$,其计算方法为 $S_R = S_{(275~295)}/S_{(350~400)}$, S_R 值与相对分子质量呈反比 $^{[32,36,37]}$;但由于本研究 350~400 nm 处吸光值在光照试验后期普遍较小, $S_{(350~400)}$ 值的计算容易带来较大偏差,因此,本研究仅选用 $S_{(270~350)}$ 来表征 DOM 相对分子量变化.此外,DOM 在 250 nm 和 350 nm 波长处吸收值比值 A_{250}/A_{350} 也可反映 DOM 性质变化,该比值一定程度上与 DOM 平均分子量呈反比 $^{[19]}$.和对照相比,DOM A_{250}/A_{350} 经日光辐照后均逐渐变大,FJ、JLJ、FJ-JLJ 分别增加了 80.57%、87.25%、87.12%,与S变化顺序一致,为JLJ > FJ-JLJ > FJ.

整体而言,光照过程中 DOM 的 S 值和 A_{250}/A_{350} 值增加[图 S(b)](相对分子质量减小),这可能和 DOM 光漂白可形成低分子量有机物或 CO、

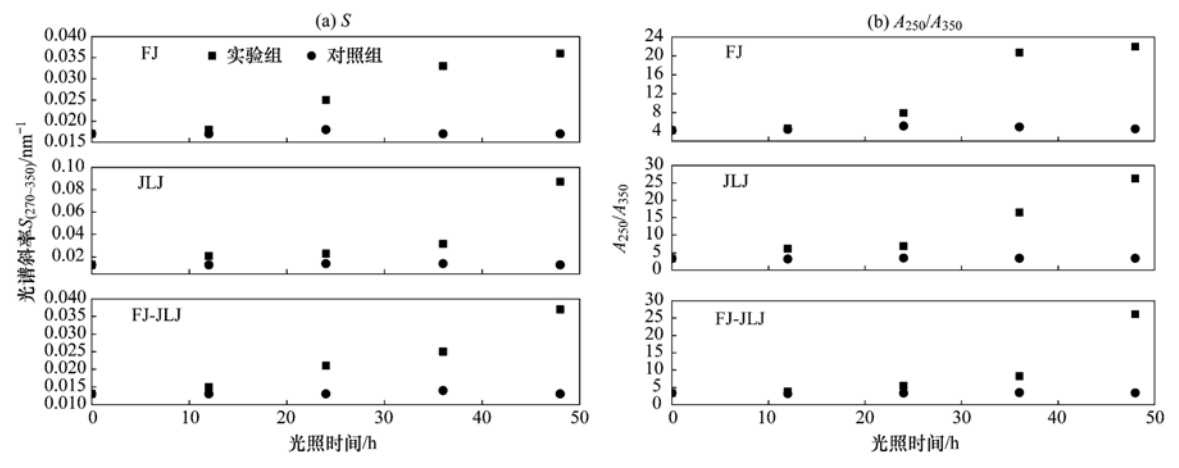


图 5 光谱斜率 $S \setminus A_{250}/A_{350}$ 随光照时间的变化趋势

Fig. 5 Changes of spectral slope S, A_{250}/A_{350} along with the illumination time

 CO_2 等产物有关 $[^{38,39}]$. 这些结果进一步证明,水体中 DOM 可通过光漂白过程转化为小分子物质(生物可利用性可能会增加) $[^{40}]$,是 DOM 演化的重要机制.

2.2 荧光光谱特征变化

试验过程中均观测到两类 4 个荧光峰,分别是类腐殖质荧光峰 A(250~260 nm/380~480 nm)、C(330~350 nm/420~480 nm)、M(310~320 nm/380~420 nm)和类蛋白荧光峰 T(270~280 nm/320

~350 nm)^[20,21],所有样本中均未发现 B 峰(270~280 nm/300~320 nm). DOM 样品光照前和光照 48 h 后各荧光峰位置变化不大(图 6),与有关河口 DOM 光降解的报道一致^[14,15],表明光漂白并不是引起 DOM 荧光峰位置发生移动的主要因素. 随光照时间增加,峰值强度减弱,4个荧光峰在夏季短期日光辐照下均发生了不同程度的光漂白. 本研究光漂白程度与以往研究有所差异(表5),可能与 DOM 来源和太阳辐射强度差异有关.

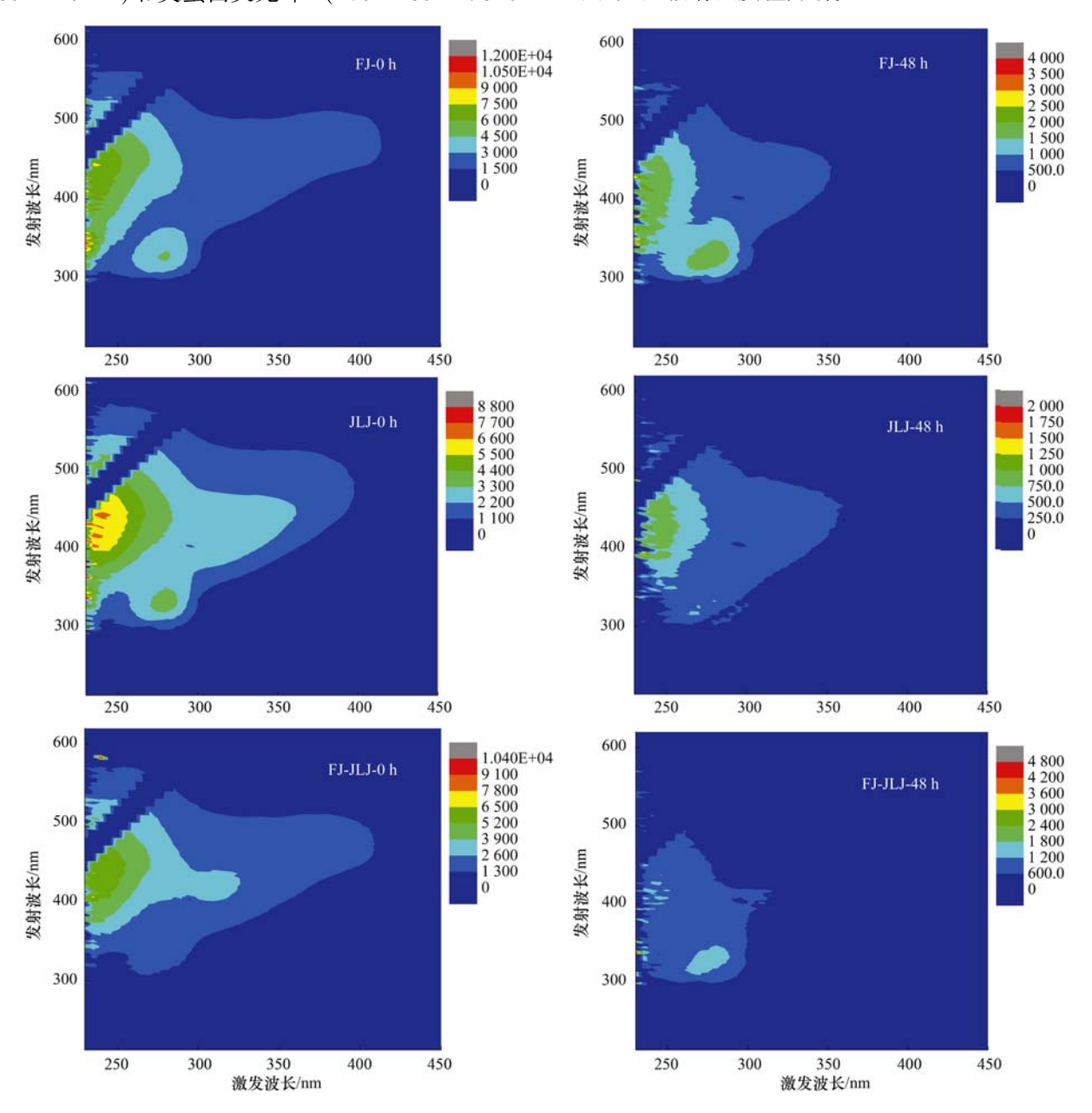


图 6 DOM 样品光照前和光照 48 h 后的 3D-EEM 谱图比较

Fig. 6 Comparison of DOM 3D-EEM spectra before and after light illumination

紫外光区荧光(A峰)主要由一些低分子量(高 荧光效率)腐殖物质引起;而可见光区荧光(C峰) 则来自相对稳定高分子量腐殖组分 $^{[27,41]}$,因此, $I_{\rm A}/I_{\rm C}$ 值可用来反映 DOM 中腐殖组分发育程度 $^{[20,27]}$.

 I_A/I_C 越大,DOM 中稳定腐殖组分比重越低. 光漂白过程中,C 峰较 A 峰更易降解,对光辐射的敏感程度更高 $^{[42]}$. 与对照组相比,FJ、JLJ、FJ-JLJ的 I_A/I_C 值

均增加[图 7(a)],但 JLJ 的增幅最大(14.21% ~ 22.94%). 同时,该结果进一步证实了光漂白可能 是导致 DOM $I_{\rm A}/I_{\rm C}$ 值过高的重要原因.

表 5 DOM 谱峰强度损失率的比较

| Table 5 | Comparison | of DOM | enectrum | neak | strength | loce rate |
|---------|------------|--------|----------|------|----------|-----------|
| | | | | | | |

| 样品来源 | 样点 | 光照时间 - | | 谱峰强度 | 损失率/% | | - 文献 |
|-----------------|--------|--------|-------|-------|-------|-------|--------|
| 什吅不你 | 什点 | 九思时间 - | A | С | M | T | 文 |
| | ZJ | | 41.65 | 2.98 | 42.86 | 41.79 | |
| 北部湾及珠江口 | GX | 5 d | 27.54 | 36.10 | 27.67 | 17.26 | [15] |
| 北即召及坏在 口 | HN | | 17.38 | 7.21 | 20.38 | 15.31 | [13] |
| | HX | | 15.73 | 20.99 | 11.86 | 9.00 | |
| 九龙江口 | Ј9 | 7 d | 71 | 87 | 83 | 60 | [13]1) |
| 九九江口 | J6 | / u | 62 | 75 | 69 | 57 | [13] |
| Satilla Estuary | | 70 d | 53.7 | 61.1 | 52.7 | 44.6 | [29]2) |
| | FJ | | 75.87 | 79.27 | 71.04 | 59.07 | |
| 涪江、嘉陵江及其交汇处 | JLJ | 48 h | 85.75 | 88.69 | 84.78 | 87.22 | 本研究 |
| | FJ-JLJ | | 81.53 | 84.00 | 78.15 | 23.56 | |

1) 该文献谱峰强度损失率取整数; 2) 该文献谱峰强度损失率取小数点后一位数

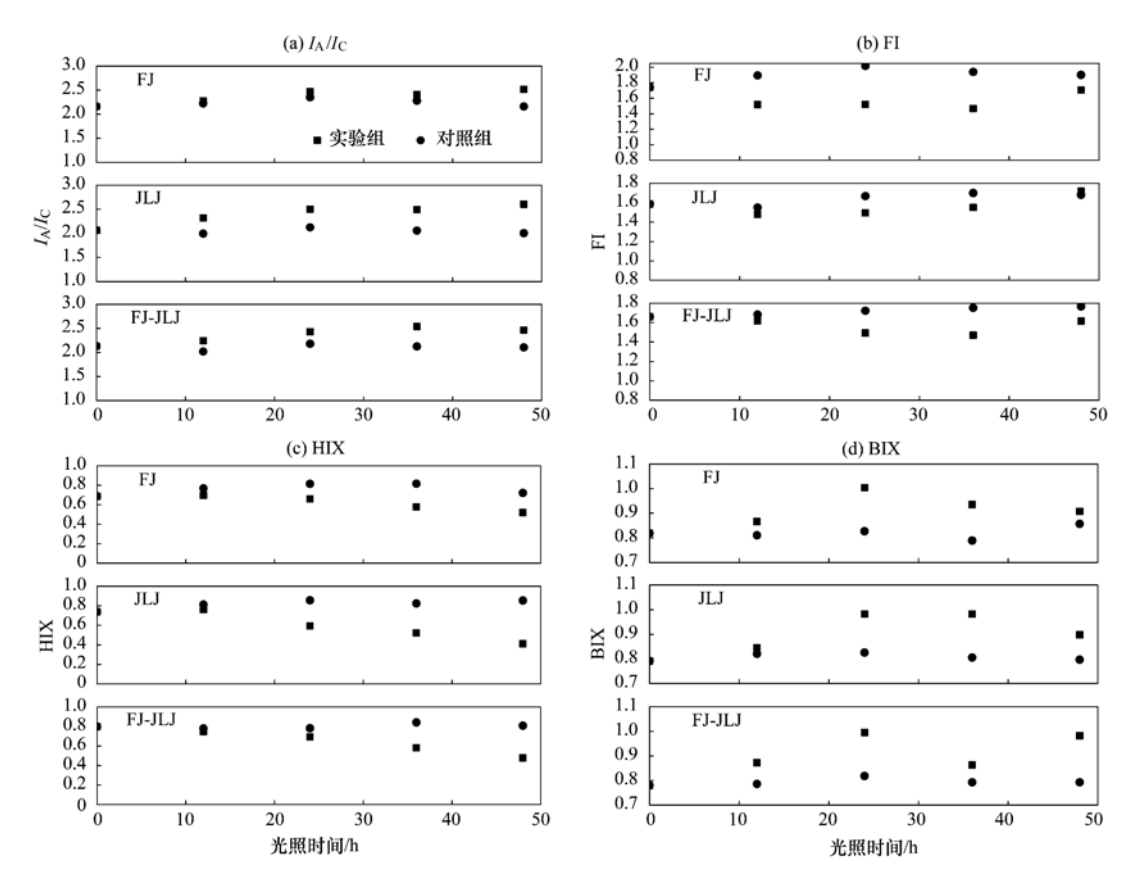


图 7 I_A/I_C 、FI、HIX、BIX 随光照时间的变化趋势

Fig. 7 Changes of $I_{\rm A}/I_{\rm C}$,FI , HIX , BIX along with the illumination time

FI 反映了芳香氨基酸与非芳香物对 DOM 荧光强度的相对贡献率,可以作为 DOM 来源及降解程度的评价指标^[25,43,44]. FJ、JLJ、FJ-JLJ 的荧光指数 ($f_{470/520}$) 分别为 1. 74、1. 59、1. 66,介于 1. 4~1. 9之间,表明 DOM 来源既有内源生产,又有外源输

入. 但 FJ 的 $f_{470/520}$ 更接近自生源特征值,而 JLJ、FJ-JLJ 的 $f_{470/520}$ 接近陆源特征值. 光漂白过程中,3 个 采样河段 DOM 的 FI 值变化较为复杂[图 7(b)],这 可能与 DOM 来源、光学特性和历史光照情况有 关[45],整体而言,以陆源特征为主 DOM 有向自生源

特征转化趋势.

HIX 表征 DOM 腐殖化程度,HIX 值越高,DOM 腐殖化程度越高. 从图 7(c)可以看出,随光照时间延长,FJ、JLJ 和 FJ-JLJ 的 HIX 相比对照组逐渐降低,表明水样经过光漂白作用后腐殖化程度降低.与开始时相比,分别降低了 24.43%、44.45% 和40.21%,大小顺序为 JLJ > FJ-JLJ > FJ. 陆源 DOM 分子量比自生源 DOM(微生物或藻类活动产生)分子量大,木质素较为丰富,芳香性结构相对较多(不饱和共轭双键结构也可能更多^[46]),腐殖化程度也较高^[47],因此光漂白程度也更大. 本研究中,JLJ、FJ-JLJ 的 DOM 受陆源输入影响较大,FJ 受内源生产影响较大,因此,JLJ、FJ-JLJ 的 HIX 降低程度高于 FJ;但 FJ-JLJ 由于江水汇合稀释作用,其 HIX 降低程度仍低于 JLJ.

BIX 是评价 DOM 中自生源贡献比重的重要指标,与 DOM 中β 荧光团有关^[21](β 荧光团被认为是新近产生的 DOM 组分),其值受 DOM 荧光光谱中 C峰和 M峰影响. FJ、JLJ、FJ-JLJ 的 BIX 值相比对照组增加[图 7(d)],其值均在 0.8~1.0之间. 另外,随光照时间增加,BIX 值呈增加趋势. 这进一步表明光漂白过程中,DOM 存在"表观自生源特征增强"的特征,与 FI 的分析结果一致.

2.3 DOM 来源对光漂白程度影响

通过对光漂白过程中 DOM 吸收和荧光光谱特 征对比,笔者发现腐殖化程度高的 DOM 样本其光 漂白程度越大;而以自生源特征为主的样本,其光 漂白程度相对较低. 本研究中 3 个河段的 DOM 样 本光漂白程度差异明显(P<0.05),大小关系:JLJ >FJ-JLJ>FJ. 这种差异性和 DOM 性质有关,而来 源是重要影响因素,例如采样水域周边土地利用类 型、森林植被等. JLJ 样本的采样河段两岸以森林 生态系统为主,植被茂盛,土壤腐殖质发育程度较 高,DOM 主要来自降雨径流和渗流输入,因而陆源 输入的 DOM 结构更为复杂,腐殖化程度更高. 由于 本研究工作采样时间为6月,正值雨季(两江丰水 期),沿岸径流量增加可能导致 JLJ 样本陆源特征更 为明显. FJ 样本的采样河段两岸以城市生态系统为 主,尤其是居民生活污水的排放,蛋白质含量高,另 外氮磷的输入也导致水体初级生产力较高[叶绿素 a: FJ (3.38 $\mu g \cdot L^{-1} \pm 0.89 \ \mu g \cdot L^{-1}$) > JLJ (3.22 μg·L⁻¹ ±0.29 μg·L⁻¹)]. 而两江河流汇合的稀释 效应,使得 DOM 样本腐殖化程度介于两者之间.

 $I_{\text{T}}/I_{\text{C}}$ 是类蛋白荧光与类腐殖质荧光的比值,可

用以评价内源贡献比重,近几年该值也用来评估水体污染情况 $[^{23,48-50]}$,典型河流 DOM 受人为排放影响的 $I_{\rm T}/I_{\rm C}$ 值 > $2.0^{[41,48,51]}$. 与 JLJ 样本相比,FJ"人为干扰"特征更为明显($I_{\rm T}/I_{\rm C}$ 更靠近 2.0). 光照过程中,FJ 和 JLJ 样本 $I_{\rm T}/I_{\rm C}$ 值呈现先降低(~12h)再升高趋势(图 8):光漂白初期,类蛋白组分(例如蛋白质和多聚糖等)的降解占主导,使得 $I_{\rm T}/I_{\rm C}$ 先下降;而后期,类腐殖质组分降解程度明显增强,含量不断降低,且类腐殖质组分中含 N 基团的降解可能成为后续类蛋白组分持续增加的驱动力,导致 $I_{\rm T}/I_{\rm C}$ 上升.由此可见,光漂白过程可以增加 DOM 样本"人为干扰"假象,或者影响采用 $I_{\rm T}/I_{\rm C}$ 评估水体质量的效果.

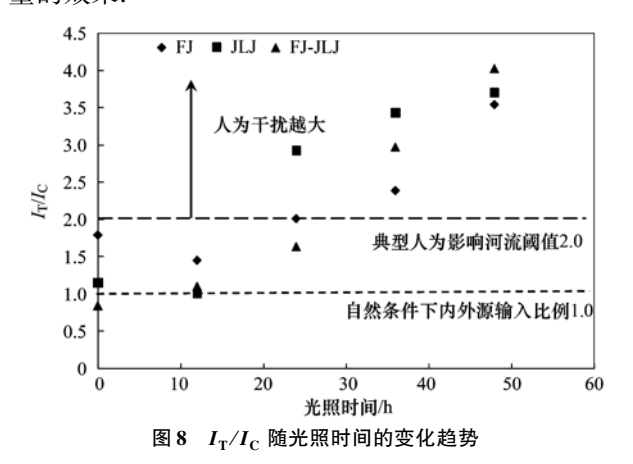


Fig. 8 Changes of $I_{\rm T}/I_{\rm C}$ along with the illumination time

本研究中,吸收和荧光光谱参数在评估 DOM 光漂白过程中结构组分变化的一致性,进一步证明 了采用两种互补光谱手段对 DOM 地化特征进行辨 析的可行性. 但值得注意的是,本研究发现芳香性 (SUVA₂₈₀)高并不意味着 DOM 光漂白潜能强(例如 合流处 DOM),这可能是因为 DOM 中除芳香性结构 外,一些脂肪链烃结构(包括含 N 基团)也会参与到 光漂白过程中——而这部分非芳香结构对光漂白潜 力贡献明显,但却无法用SUVA₃₈₀值来表征,例如蛋 白质、吡咯等组分. 有研究也表明[52,53],SUVA 值与 DOM 的化学反应活性间并无显著相关性. 相比之 下, 芳香性结构和非芳香性组分的变化在 S 值和 A_{250}/A_{350} 上的反映更为稳定,光漂白过程中 DOM 整 体性质变化在这两个特征值中均可得到反映. 本研 究原水样光谱斜率 S 值和 A_{250}/A_{350} 大小顺序为 FJ >FJ-JLJ > JLJ, 其降解程度大小顺序为 JLJ > FJ-JLJ > FJ,进一步证明大分子量 DOM(S 值较小)光漂白潜 力较大[36,37]. 另外,本研究发现,光漂白使得 DOM 会发生表观的"陆源向自生源转化"的趋势,因此采

用 FI 值作为 DOM 溯源时,并没有完全考虑到光照 对 DOM 演化的影响,仅通过该值简单判断 DOM 来源并不全面,光漂白过程可能会夸大 DOM 内源贡献比例. 因此基于采样区域周边具体环境分析,是采用光谱手段解析 DOM 地化特征的重要补充.

进一步,众所周知内陆河流 DOM 是海洋 DOM 重要来源,内陆江河在经过一系列合流后汇入大海^[54]. 而实际上,内陆淡水系统中 DOM 本身就具有部分海洋 DOM 的自生源特征;同时在内陆河流汇入海洋的过程中,光漂白也起着十分重要的作用,使得淡水系统中 DOM"表观自生源特征"不断增加,这说明关于"陆源 DOM 只占海洋总 DOM 贮库的很小一部分"^[1,54~57]的论述并不很全面,按照现有估算方法可能会低估了陆源 DOM 对海洋 DOM 贮库的贡献. 因此,进一步阐述光漂白对内陆淡水 DOM 演化过程影响是重要的研究方向.

3 结论

- (1)夏季短期太阳辐射作用下, CDOM 浓度 a(280)和荧光峰 A、C、M、T 均发生了较明显的光漂白,降解程度大小顺序为 JLJ > FJ-JLJ > FJ. 光谱斜率 S 和吸光度比值 A_{250}/A_{350} 增大, 腐殖化指数 HIX 减小,它们可作为光漂白过程中 DOM 性质变化指标.
- (2)3个河段 DOM 样本光漂白性质的差异与采样区域周边土地利用类型、森林植被、江水汇合稀释作用等有关. JLJ 采样河段两岸以森林生态系统为主,陆源特征显著; FJ 采样河段两岸以城市生态系统为主,自生源特征显著.
- (3)光漂白过程中陆源特征为主的 DOM 有向自生源特征转化的趋势,进一步证明该过程是水体 DOM 演化的重要途径,但同时也有可能影响 $I_{\rm T}/I_{\rm C}$ 评估水体质量的效果.

参考文献:

- [1] Rochelle-Newall E J, Fisher T R. Chromophoric dissolved organic matter and dissolved organic carbon in Chesapeake Bay [J]. Marine Chemistry, 2002, 77(1): 23-41.
- [2] Battin T J, Luyssaert S, Kaplan L A, et al. The boundless carbon cycle[J]. Nature Geoscience, 2009, 2(9): 598-600.
- [3] 陈蕾, 沈超峰, 陈英旭. 溶解性有机质与水生生物的直接相 互作用研究进展[J]. 湖泊科学, 2011, **23**(1): 1-8.
- [4] Coble P G. Marine optical biogeochemistry: the chemistry of ocean color[J]. Chemical Reviews, 2007, 107(2): 402-418.
- [5] Zhang Y L, Yin Y, Zhang E L, et al. Spectral attenuation of ultraviolet and visible radiation in lakes in the Yunnan Plateau, and the middle and lower reaches of the Yangtze River, China

- [J]. Photochemical and Photobiological Sciences, 2011, 10 (4): 469-482.
- [6] Bushaw K L, Zepp R G, Tarr M A, et al. Photochemical release of biologically available nitrogen from aquatic dissolved organic matter [J]. Nature, 1996, 381 (6581); 404-407.
- [7] Lou T, Xie H X, Chen G H, et al. Effects of photodegradation of dissolved organic matter on the binding of benzo(a) pyrene [J]. Chemosphere, 2006, 64(7): 1204-1211.
- [8] Mostofa K M G, Yoshioka T, Mottaleb M A, et al. Photobiogeochemistry of organic matter: principles and practices in water environments [M]. Berlin Heidelberg, Germany: Springer-Verlag, 2012. 769-827.
- [9] Spencer R G M, Stubbins A, Hernes P J, et al. Photochemical degradation of dissolved organic matter and dissolved lignin phenols from the Congo River [J]. Journal of Geophysical Research; Biogeosciences (2005-2012), 2009, 114(G3), doi: 10.1029/2009JG000968.
- [10] Stubbins A, Spencer R G M, Chen H M, et al. Illuminated darkness: molecular signatures of Congo River dissolved organic matter and its photochemical alteration as revealed by ultrahigh precision mass spectrometry [J]. Limnology and Oceanography, 2010, 55(4): 1467-1477.
- [11] 王鑫, 张运林, 张文宗. 太湖北部湖区 CDOM 光学特性及光 降解研究[J]. 环境科学研究, 2008, **21**(6): 130-135.
- [12] 冯胜,张运林,秦伯强.太湖梅梁湾有色可溶性有机物的光化学降解[J].中国环境科学,2006,26(4):404-408.
- [13] 程远月,郭卫东. 厦门湾有色溶解有机物光漂白的三维荧光光谱研究[J]. 光谱学与光谱分析, 2009, **29**(4): 990-993.
- [14] 郭卫东,程远月. 天然日光辐照下河口区 CDOM 的光化学降解[J]. 环境科学, 2008, **29**(6): 1463-1468.
- [15] 王福利,郭卫东. 秋季南海珠江口和北部湾溶解有机物的光降解[J]. 环境科学学报, 2010, **30**(3); 606-612.
- [16] Chin Y P, Aiken G, O'Loughlin E. Molecular weight, polydispersity, and spectroscopic properties of aquatic humic substances[J]. Environmental Sciences and Technology, 1994, 28(11): 1853-1858.
- [17] 郭卫东,黄建平,洪华生,等.河口区溶解有机物三维荧光光谱的平行因子分析及其示踪特性[J].环境科学,2010,31(6):1419-1426.
- [18] Bricaud A, Morel A, Prieur L. Absorption by dissolved organic matter of the sea (yellow substance) in the UV and visible domains[J]. Limnology and Oceanography, 1981, 26(1): 43-53.
- [19] Grzybowski W. Effect of short-term sunlight irradiation on absorbance spectra of chromophoric organic matter dissolved in coastal and riverine water[J]. Chemosphere, 2000, 40 (12): 1313-1318.
- [20] Coble P G. Characterization of marine and terrestrial DOM in seawater using excitation-emission matrix spectroscopy [J].

 Marine Chemistry, 1996, 51(4): 325-346.
- [21] Parlanti E, Worz K, Geoffroy L, et al. Dissolved organic matter fluorescence spectroscopy as a tool to estimate biological activity

- in a coastal zone submitted to anthropogenic inputs [J]. Organic Geochemistry, 2000, 31(12): 1765-1781.
- [22] Del Castillo C E, Coble P G. Seasonal variability of the colored dissolved organic matter during the 1994- 95 NE and SW monsoons in the Arabian Sea [J]. Deep Sea Research Part II: Topical Studies in Oceanography, 2000, 47(7-8): 1563-1579.
- [23] 刘明亮, 张运林, 秦伯强. 太湖入湖河口和开敞区 CDOM 吸收和三维荧光特征[J]. 湖泊科学, 2009, **21**(2): 234-241.
- [24] Cory R M, McKnight D M. Fluorescence spectroscopy reveals ubiquitous presence of oxidized and reduced quinines in dissolved organic matter [J]. Environmental Sciences and Technology, 2005, 39(21): 8142-8149.
- [25] McKnight D M, Boyer E W, Westerhoff P K, et al. Spectrofluorometric characterization of dissolved organic matter for indication of precursor organic material and aromaticity [J]. Limnology and Oceanography, 2001, 46(1): 38-48.
- [26] Ohno T. Fluorescence inner-filtering correction for determining the humification index of dissolved organic matter [J]. Environmental Science and Technology, 2002, 36 (4): 742-746.
- [27] Huguet A, Vacher L, Relexans S, et al. Properties of fluorescent dissolved organic matter in the Gironde Estuary [J]. Organic Geochemistry, 2009, 40(6): 706-719.
- [28] Parlanti E, Giraudel J L, Roumaillac A, et al. Fluorescence and principal component analysis and parallel factor (PARAFAC) analysis: new criteria for the characterization of dissolved organic matter in aquatic environments[A]. In: Proceedings of the 13th Meeting of the International Humic Substances Society [C]. Karlsruhe, Germany, 2006. 369-372.
- [29] Moran M A, Sheldon W M, Zepp R G. Carbon loss and optical property changes during long-term photochemical and biological degradation of estuarine dissolved organic matter[J]. Limnology and Oceanography, 2000, 45(6): 1254-1264.
- [30] Norman L, Thomas D N, Stedmon C A, et al. The characteristics of dissolved organic matter (DOM) and chromophoric dissolved organic matter (CDOM) in Antarctic sea ice [J]. Deep Sea Research Part II; Topical Studies in Oceanography, 2011, 58(9-10); 1075-1091.
- [31] Hulatt C J, Thomas D N, Bowers D G, et al. Exudation and decomposition of chromophoric dissolved organic matter (CDOM) from some temperate macroalgae [J]. Estuarine, Coastal and Shelf Science, 2009, 84(1): 147-153.
- [32] Zhang Y L, Liu M L, Qin B Q, et al. Photochemical degradation of chromophoric-dissolved organic matter exposed to simulated UV-B and natural solar radiation[J]. Hydrobiologia, 2009, 627 (1): 159-168.
- [33] Kulovaara M, Corin N, Backlund P, et al. Impact of UV₂₅₄-radiation on aquatic humic substances [J]. Chemosphere, 1996, 33(5): 783-790.
- [34] Stedmon C A, Markager S, Kaas H. Optical properties and signatures of chromophoric dissolved organic matter (CDOM) in Danish coastal waters[J]. Estuarine, Coastal and Shelf Science,

- 2000, **51**(2): 267-278.
- [35] Twardowski M S, Boss E, Sullivan J M, et al. Modeling the spectral shape of absorption by chromophoric dissolved organic matter [J]. Marine Chemistry, 2004, 89(1-4): 69-88.
- [36] Helms J R, Stubbins A, Ritchie J D, et al. Absorption spectral slopes and slope ratios as indicators of molecular weight, source, and photobleaching of chromophoric dissolved organic matter[J]. Limnology and Oceanography, 2008, 53(3): 955-969.
- [37] Xiao Y H, Sara-Aho T, Hartikainen H, et al. Contribution of ferric iron to light absorption by chromophoric dissolved organic matter[J]. Limnology and Oceanography, 2013, 58(2): 653-662.
- [38] Moran M A, Zepp R G. Role of photoreactions in the formation of biologically labile compounds from dissolved organic matter [J]. Limnology and Oceanography, 1997, 42(6): 1307-1316.
- [39] 陆小兰, 张聪, 杨桂朋, 等. 胶州湾海水中一氧化碳光致生成影响因素的研究[J]. 海洋学报, 2012, **34**(4): 77-83.
- [40] Kieber D J, McDaniel J, Mopper K. Photochemical source of biological substrates in seawater: implication for carbon cycling [J]. Nature, 1989, 341(6243): 637-639.
- [41] Baker A, Curry M. Fluorescence of leachates from three contrasting landfills[J]. Water Research, 2004, 38(10): 2605-2613.
- [42] 傅平青, 吴丰昌, 刘丛强, 等. 太阳辐射对溶解有机质荧光 光谱特征的影响[J]. 光谱学与光谱分析, 2006, **26**(3): 471-474.
- [43] Mladenov N, McKnight D M, Macko S A, et al. Chemical characterization of DOM in channels of a seasonal wetland [J]. Aquatic Sciences, 2007, 69(4): 456-471.
- [44] 刘笑菡, 张运林, 殷燕, 等. 三维荧光光谱及平行因子分析 法在 CDOM 研究中的应用[J]. 海洋湖沼通报, 2012, (3): 133-140.
- [45] Helms J R, Stubbins A, Perdue E M, et al. Photochemical bleaching of oceanic dissolved organic matter and its effect on absorption spectral slope and fluorescence [J]. Marine Chemistry, 2013, 155: 81-91.
- [46] Kieber R J, Whitehead R F, Reid S N, et al. Chromophoric dissolved organic matter (CDOM) in rainwater, Southeastern North Carolina, USA [J]. Journal of Atmospheric Chemistry, 2006, 54(1): 21-41.
- [47] Birdwell J E, Engel A S. Characterization of dissolved organic matter in cave and spring waters using UV-Vis absorbance and fluorescence spectroscopy[J]. Organic Geochemistry, 2010, 41 (3): 270-280.
- [48] Baker A. Fluorescence excitation-emission matrix characterization of some sewage-impacted rivers [J]. Environmental Science and Technology, 2001, 35(5): 948-953.
- [49] Baker A. Fluorescence excitation-emission matrix characterization of river waters impacted by a tissue mill effluent [J]. Environmental Science and Technology, 2002, 36 (7): 1377-1382.
- [50] Henderson R K, Baker A, Murphy K R, et al. Fluorescence as a

- potential monitoring tool for recycled water systems: a review [J]. Water Research, 2009, 43(4): 863-881.
- [51] Galapate R P, Baes A U, Ito K, et al. Detection of domestic wasters in Kurose river using synchronous fluorescence spectroscopy[J]. Water Research, 1998, 32(7): 2232-2239.
- [52] Weishaar J L, Aiken G R, Bergamaschi B A, et al. Evaluation of specific ultraviolet absorbance as an indicator of the chemical composition and reactivity of dissolved organic carbon [J]. Environment Science and Technology, 2003, 37 (20): 4702-4708.
- [53] Jones D L, Simfukwe P, Hill P W, et al. Evaluation of dissolved organic carbon as a soil quality indicator in national monitoring schemes [J]. PloS One, 2014, 9(3): e90882.

- [54] 郭卫东,程远月,余翔翔,等. 海洋有色溶解有机物的光化 学研究进展[J]. 海洋通报,2008,27(3):107-114.
- [55] Del Castillo C E, Coble P G, Morell J M, et al. Analysis of the optical properties of the Orinoco River plume by absorption and fluorescence spectroscopy [J]. Marine Chemistry, 1999, 66(1): 35.51
- [56] Chen R F, Bada J L. The fluorescence of dissolved organic matter in seawater [J]. Marine Chemistry, 1992, 37 (3-4): 191-221
- [57] Willey J D, Atkinson L P. Natural fluorescence as a tracer for distinguishing between piedmont and coastal plain river water in the nearshore waters of Georgia and north Carolina [J]. Estuarine, Coastal and Shelf Science, 1982, 14(1): 49-59.

Environmental Science (monthly)

Vol. 35 No. 9 Sep. 15, 2014

CONTENTS

| Comparative Analysis Methods of Haze Distinction over Yangtze River Delta Region | LIII Xiao-hui ZHII Rin GAO lin-hui et al. (3239) |
|--|---|
| Trends of Urban Haze in Jiangsu Province China over the Past 33 Years | |
| Temporal Variation of Background Atmospheric CO ₂ and CH ₄ at Mount Waliguan, China | |
| Characteristics and Sources of Organic Carbon and Elemental Carbon in PM _{2,5} in Shanghai Urban Area ZHAI | |
| Size Distribution and Characterization of OC and EC in Atmospheric Aerosols During the Asian Youth Games of Nanjing, China | |
| Pollution Characteristics of Carbonaceous Aerosols in PM _{2, 5} During Typical Winter Days in Wuxi City | |
| Emission Characteristics of PM _{2, 5} from Blast Furnace Iron Making | |
| Composition Characteristics of Atmospheric Volatile Organic Compounds in the Urban Area of Beibei District, Chongqing | |
| Catalytic Oxidation of Two-component VOCs and Kinetic Analysis | |
| Ultrafine Particle Number Concentration and Size Distribution of Vehicle Exhaust Ultrafine Particles | LU Ye-qiang, CHEN Qiu-fang, SUN Zai, et al. (3309) |
| Major Ion Chemistry of Surface Water in the Upper Reach of Shule River Basin and the Possible Controls | HOU Jia-xin, DING Yong-jian, ZENG Guo-xiong, et al. (3315) |
| Sediment-water Flux and Processes of Nutrients and Gaseous Nitrogen Release in a China River Reservoir | CHEN Zhu-hong, CHEN Neng-wang, WU Yin-qi, et al. (3325) |
| Spatial Distribution and Pollution Assessment of Heavy Metals in the Tidal Reach and Its Adjacent Sea Estuary of Daliaohe Area, China | ··· ZHANG Lei, QIN Yan-wen, MA Ying-qun, et al. (3336) |
| Chemical Speciation and Risk Assessment of Heavy Metals in the Middle Part of Yarlung Zangbo Surface Sediments | |
| Analysis of Particle Size Characteristics of Road Sediments in Beijing Olympic Park | |
| Levels and Distribution of the Dioxin-Like Polychlorinated Biphenyls (PCBs) in the Surface Sediment of the Yellow River | |
| Characteristics of Nitrogen and Phosphorus Retention in Two Different Channel Forms in a Typical Headwater Stream in the Suburb of H | Hefei City, China ····· |
| | |
| Migration and Transformation of Nitrogen in Urban Stream Located in Plain River-net Area Based on Water Resources Regulation | |
| | |
| Decomposition and Phosphorus Dynamics of the Litters in Standing and Litterbag of the Hangzhou Bay Coastal Wetland | |
| Muti-model Collaborative Retrieval of Chlorophyll a in Taihu Lake Based on Data Assimilation | |
| Photobleaching of Dissolved Organic Matter (DOM) from Confluence of Two Rivers Under Natural Solar Radiation: A Case Study of Fu | ujiang River-Jialingjiang River |
| | |
| Using Ultraviolet-Visible (UV-Vis) Absorption Spectrum to Estimate the Dissolved Organic Matter (DOM) Concentration in Water, Sc | oils and Sediments of Typical Water-Level Fluctuation |
| Zones of the Three Gorges Reservoir Areas | _ |
| Synthesis of Cu ₂ O-Ag-AgBr/MA Visible Photocatalyst and Its Performance in Degradation of 2-Chlorophenol | |
| Effects of Particle Size of Zero-Valent Iron on the Reactivity of Activating Persulfate and Kinetics for the Degradation of Acid Orange 7 | IIII WANT MAY . 1 (2422) |
| Degradation of 2,4-D by Combined Catalytic Dechlorination and Biological Oxidation | |
| Treatment of Marine-Aquaculture Effluent by the Multi-Soil-Layer (MSL) System and Subsurface Flow Constructed Wetland | |
| Variation of Different Carbon Sources in the Sewage Treatment Process | |
| Effect of Gas-lift Device on Nitrogen Removal Efficiency of ANAMMOX Reactor | |
| Enhancement for Anaerobic Digestion of Sewage Sludge Pretreated by Microwave and Its Combined Processes | |
| Pilot Study of Thermal Treatment/Thermophilic Anaerobic Digestion Process Treating Waste Activated Sludge of High Solid Content | |
| Effects of Temperature on Combined Process of ABR and MBR for Domestic Sewage Treatment and Analysis of Microbial Community | |
| Microbial Community of Municipal Discharges in A Sewage Treatment Plant | |
| Pilot-Scale Cultivation of Spirulina plantensis with Digested Piggery Wastewater | |
| Spectral Characteristics of Soluble Metabolites During Endogenous Respiration | |
| Endogenous Respiration Process Analysis of Heterotrophic Biomass and Autotrophic Biomass Based on Respiration Map | |
| Influence of S-Metolachlor and Cd ²⁺ on Photosynthesis of Scenedesmus obliquus | |
| Effect of Environmental Factors on Fish Community Structure in the Huntai River Basin at Multiple Scales | |
| Succession of Rotifer Community and Its Relationship with Environmental Factors in a New Estuarial Landscape River, Shanghai | |
| Anaerobic Reduction of Humus/Fe(III) and Electron Transport Mechanism of Fontibacter sp. SgZ-2 ······ | MA Chen, YANG Gui-qin, LU Qin, et al. (3522) |
| Source Apportionment of Soil Heavy Metals in Jiapigou Goldmine Based on the UNMIX Model | |
| Environmental Magnetic Properties and Their Spatial Variability of Topsoil in Shihezi City | |
| Effects of Different Amounts of Phosphate Fertilizers on Copper, Zinc Transfer in Red Soil Under the Application of KH ₂ PO ₄ | |
| Influence of Sulfur on the Bioavailability of Arsenic Uptake by Rice (Oryza. sativa L.) and Its Speciation in Soil | ANG Shi-jie, TANG Bing-pei, WANG Dai-chang, et al. (3553) |
| Effects of Sulfur on Transformation of Selenium in Soil and Uptake of Selenium in Rape | ····· LIU Xin-wei, DUAN Bi-hui, XIA Quan-jie, et al. (3564) |
| Impact of Reclaimed Water Irrigation on Soil Chemical Properties and Culturable Microorganisms | ····· GONG Xue, WANG Ji-hua, GUAN Jian-fei, et al. (3572) |
| Influence of Different Slope Position and Profile in Disporopsis pernyi Forest Land on Soil Microbial Biomass and Enzyme Activity in Sou | uthwest Karst Mountain of China |
| | ·· QIN Hua-Jun, HE Bing-Hui, ZHAO Xuan-chi, et al. (3580) |
| $Effects \ of \ Different \ Soil \ Types \ on \ the \ Foliar \ \delta^{13}\!C \ Values \ of \ Common \ Local \ Plant \ Species \ in \ Karst \ Rocky \ Describination \ Area \ in \ Central \ Plant \ Species \ in \ Karst \ Rocky \ Describination \ Area \ in \ Central \ Plant \ Species \ in \ Karst \ Rocky \ Describination \ Area \ in \ Central \ Plant \ Species \ in \ Karst \ Rocky \ Describination \ Area \ in \ Central \ Plant \ Species \ in \ Karst \ Rocky \ Describination \ Area \ in \ Central \ Plant \ Species \ in \ Karst \ Rocky \ Describination \ Area \ in \ Central \ Plant \ Species \ in \ Karst \ Rocky \ Describination \ Area \ in \ Central \ Plant \ Species \ in \ Karst \ Rocky \ Describination \ Area \ in \ Central \ Plant \ Species \ in \ Karst \ Rocky \ Describination \ Area \ in \ Central \ Plant \ Species \ in \ Karst \ Rocky \ Describination \ Area \ in \ Central \ Plant \ Species \ in \ Karst \ Rocky \ Describination \ Area \ Area \ Plant \ Pl$ | |
| | DU Xue-lian, WANG Shi-jie, LUO Xu-qiang (3587) |
| Effect of Carbon Substrate Concentration on N2, N2O, NO, CO2 and CH4 Emissions from a Paddy Soil in Anaerobic Condition | |
| Ability of Typical Greenery Shrubs of Beijing to Adsorb and Arrest PM _{2.5} | |
| Effects of Chlorides on Cd Transformation in a Simulated Grate Incinerator During Sludge Incineration Process | • |
| $Spatial\ Temporal\ Differentiation\ of\ Product-based\ and\ Consumption-based\ CO_{2}\ Emissions\ and\ Balance\ in\ the\ Beijing-Tianjin-Hebei\ Regular Consumption and Cons$ | ion; an Economic Input-Output Analysis ······ |
| | |
| Study on Feasible Emission Control Level of Air Pollutions for Cement Industry | REN Chun, JIANG Mei, ZOU Lan, et al. (3632) |

《环境科学》第6届编辑委员会

主 编:欧阳自远

副主编:赵景柱 郝吉明 田 刚

编 委:(按姓氏笔画排序)

万国江 王华聪 王凯军 王绪绪 田 刚 田 静 史培军

朱永官 刘志培 汤鸿霄 陈吉宁 孟 伟 周宗灿 林金明

欧阳自远 赵景柱 姜 林 郝郑平 郝吉明 聂永丰 黄 霞

黄耀 鲍强潘纲潘涛魏复盛

环龙种草

(HUANJING KEXUE)

(月刊 1976年8月创刊) 2014年9月15日 第35卷 第9期

ENVIRONMENTAL SCIENCE

(Monthly Started in 1976)
Vol. 35 No. 9 Sep. 15, 2014

| | | , | | | |
|------|-----|--------------------------------------|------------------|----|---|
| 主 | 管 | 中国科学院 | Superintended | by | Chinese Academy of Sciences |
| 主 | 办 | 中国科学院生态环境研究中心 | Sponsored | by | Research Center for Eco-Environmental Sciences, Chinese |
| 协 | 办 | (以参加先后为序) | | | Academy of Sciences |
| | | 北京市环境保护科学研究院 | Co-Sponsored | by | Beijing Municipal Research Institute of Environmental |
| | | 清华大学环境学院 | | | Protection |
| 主 | 编 | 欧阳自远 | | | School of Environment, Tsinghua University |
| 编 | 辑 | 《环境科学》编辑委员会 | Editor-in -Chief | • | OUYANG Zi-yuan |
| -m | 7-4 | 北京市 2871 信箱(海淀区双清路 | Edited | by | The Editorial Board of Environmental Science (HUANJING |
| | | 18号,邮政编码:100085) | | | KEXUE) |
| | | 电话:010-62941102,010-62849343 | | | P. O. Box 2871, Beijing 100085, China |
| | | 传真:010-62849343 | | | Tel:010-62941102,010-62849343; Fax:010-62849343 |
| | | E-mail; hjkx@ rees. ac. cn | | | E-mail; hjkx@ rcees. ac. cn |
| | | http://www.hjkx.ac.cn | | | http://www. hjkx. ac. cn |
| 出 | 版 | 4 星 虫 版 社 | Published | by | Science Press |
| щ | 742 | 北京东黄城根北街 16 号 | | | 16 Donghuangchenggen North Street, |
| | | 邮政编码:100717 | | | Beijing 100717, China |
| 印刷装 | ŧ订 | 北京北林印刷厂 | Printed | by | Beijing Bei Lin Printing House |
| 发 | 行 | 斜望出版社 | Distributed | by | Science Press |
| | | 电话:010-64017032 | | | Tel:010-64017032 |
| | | E-mail: journal@ mail. sciencep. com | | | E-mail:journal@mail.sciencep.com |
| 订 购 | 处 | 全国各地邮电局 | Domestic | | All Local Post Offices in China |
| 国外总统 | 发行 | 中国国际图书贸易总公司 | Foreign | | China International Book Trading Corporation (Guoji |
| | | (北京 399 信箱) | | | Shudian), P. O. Box 399, Beijing 100044, China |
| | | | | | |

中国标准刊号: $\frac{ISSN}{CN}$ 0250-3301 $\frac{11-1895/X}{11}$

国内邮发代号: 2-821

国内定价:90.00元

国外发行代号: M 205

国内外公开发行